

偏振光及其应用

(第二版)

田志偉 編著

內容 提 要

本书对偏振光的性质和应用等內容作了比較全面而系統的叙述，对光波的起偏振仪器也作了較詳細的介紹。本书可作为大学物理系学生的課外讀物，对有关生产单位的技术人員亦有参考价值。

偏 振 光 及 其 应 用

(第二版)

田 志 偉 編 著

上海科学技术出版社出版 (上海瑞金二路 450 号)
上海市书刊出版业营业許可証出 093 号

商务印书館上海厂印刷 新华书店上海发行所发行

开本 850×1156 1/32 印張 4 16/32 插頁 1 排版字數 116,000

(原科技版印 3,700 册 1957 年 6 月第 1 版)

1959 年 3 月新 1 版印 2 次共印 2,000 册

1965 年 6 月第 2 版 1965 年 6 月第 1 次印刷

印數 1—2,000

统一书号 15119·508 定价(科六) 0.70 元

目 录

第一章 光的一些基本性质	1
§ 1-1 引言	1
§ 1-2 振动方程	3
§ 1-3 波动方程	5
§ 1-4 波的迭加与干涉	7
§ 1-5 电磁波	11
§ 1-6 可見光	13
§ 1-7 自然光	15
§ 1-8 偏振光	17
第二章 偏振光的强度	23
§ 2-1 透过起偏振鏡的光强与透过检偏振鏡的光强之間的关系	23
§ 2-2 透过起偏振鏡的光强	24
§ 2-3 馬呂斯定律	28
§ 2-4 部分偏振光	29
第三章 自然界中光的偏振化現象	32
§ 3-1 由反射和折射所引起的偏振現象	32
§ 3-2 由双折射所引起的偏振現象	37
§ 3-3 由散射所引起的偏振現象	44
第四章 直線偏振光的起(檢)偏振鏡及其制法	46
§ 4-1 反射光鏡	46
§ 4-2 玻片堆	48
§ 4-3 尼科耳棱鏡	50
§ 4-4 洛匈棱鏡与渥拉斯頓棱鏡	54
§ 4-5 电气石	56
§ 4-6 海拉柏斯晶和 J-人造偏振片	58
§ 4-7 H-人造偏振片和 K-人造偏振片	61
§ 4-8 散射型人造偏振片	63
第五章 圓偏振光与椭圓偏振光	65
§ 5-1 波片	65
§ 5-2 全波片、半波片和 $1/4$ 波片	67

目 录

§ 5-3 全波片与半波片的作用	68
§ 5-4 圆偏振光	72
§ 5-5 椭圆偏振光	74
§ 5-6 波片的制法	77
§ 5-7 自然光与各种偏振光的鉴别法	78
第六章 偏振光的干涉	80
§ 6-1 菲涅耳-阿喇果定律	80
§ 6-2 偏振光的干涉	84
§ 6-3 在平行的直線偏振光照射下的薄晶片	86
§ 6-4 在会聚或发散的直線偏振光照射下的薄晶片	90
§ 6-5 人为的双折射現象	93
第七章 物质的旋光性	100
§ 7-1 物质的旋光性	100
§ 7-2 旋光色散	102
§ 7-3 物质的旋光率	104
§ 7-4 旋光理論	107
§ 7-5 物质的磁旋光性——法拉第效应	111
第八章 偏振光的应用	113
§ 8-1 偏振太阳眼鏡	113
§ 8-2 偏振望远鏡	115
§ 8-3 车、船和飞机上的偏振窗	116
§ 8-4 照相机上用的偏振滤光片	116
§ 8-5 偏振光台灯和无炫照明	118
§ 8-6 汽車前灯的避炫裝置	119
§ 8-7 立体图片与立体电影	121
§ 8-8 偏振光度計	123
§ 8-9 偏振光显微鏡与偏振仪	124
§ 8-10 織物檢驗鏡	126
§ 8-11 光測彈性仪	127
§ 8-12 克尔盒	130
§ 8-13 偏振計与糖量計	132
§ 8-14 偏振光与其他科学技术部門的关系	134

第一章 光的一些基本性质

§ 1-1 引　　言

人类对于光的本性的认识曾经经历过一段十分艰辛曲折而又漫长的道路。

最初，古希腊的一些哲学家以为光有些象某些动物的“触须”，它从人的眼睛里射出来，当它“触”到物体时，人就看见了这个物体。这种说法后来被德谟克利特和亚里士多德等哲学家否定了；他们根据“人在黑暗中看不见物体”的事实，肯定光不是从眼睛里射出去，而是自物体向观察者的眼睛射来的。可是，由于受社会生产力水平的限制，当时对于光的本性的认识，只是停留在臆想的阶段，还没有完整的科学假说。

光的本性是物理光学的内容，后者作为一门独立的学科出现还是十七世纪以后的事。

在十七世纪末期，牛顿从机械论观点总结了光的直进和在两种介质界面上的反射、折射等现象的规律，提出了一种假说，认为光是由发光物体射出的一种弹性微粒流，光的反射和折射现象是这些物质微粒与介质界面相互作用的结果。这就是所谓“光的微粒说”。

在牛顿提出“微粒说”的同一时代，荷兰物理学家惠更斯却创立了一种与“微粒说”相对立的学说，他把光看作是在一种叫做以太的弹性介质中传播的波。这种假说就叫做“光的波动说”。

由于惠更斯所提出的“波动说”本身还存在许多严重的缺点，而同时“微粒说”的创始者牛顿当时在物理学界中享有很高的威望，故在两种学说不断尖锐论战的前一百年間，“微粒说”一直占有着统治地位。

直到十九世紀初，楊氏及菲涅耳等人对干涉、衍射現象作了深入的研究，特別是 1818 年，菲涅耳应法国科学院关于“衍射”征文的那篇著名的論文发表之后（在那篇論文中，他以波动概念十分圓滿地解釋了“衍射”和“光的直进”等現象），“波动說”才逐渐被当代一些大科学家象阿喇果、拉普拉斯、毕奥及泊松等人所接受。

在实践中“波动說”一次又一次地得到了改正与充实；其中，光的偏振現象的发现对“波动說”的功績是不容抹煞的。对光的偏振性质的研究，使人們纠正了过去把光当作“纵波”的錯誤观点，从而大大地加强与充实了“波动說”的基础。

菲涅耳与阿喇果等人按照光是“横波”的概念，从理論上預言了发生偏振光干涉的各种条件；楊氏又在偏振光干涉的實驗中証明了光的“横波”性；此外，菲涅耳用同一概念完滿地解釋衍射与双折射現象，建立了圓偏振光、椭圓偏振光与旋光等理論……这一切都显示出“波动說”的正确性。

到 1850 年，傅科測得光在液体中的速度小于光在真空中的速度，正好和“微粒說”預期的結果相反，而与“波动說”的推論相合，才最終确定了“波动說”在光的本性理論中的地位。

“波动說”在对微粒說的斗争中終于取得了胜利，然而在波动說中也仍然存在着难以克服的內在矛盾：例如“波动說中假設光乃是在以太这种連續介质中傳播的机械彈性振动，根据光傳播的巨大速度必須假設以太介质具有异常大的切变模量和异常小的密度，而以太介质的这种特性却是不可思議的。

在十九世紀末，麦克斯韦和赫茲分別从理論和實驗上令人信服地証明了光的电磁本性，原来光是一种形式的电磁波，而不是机械彈性波。于是光的电磁理論就替代了原来的“波动說”。

在十九世紀末二十世紀初，斯托列托夫与爱因斯坦等人在有关光和物质相互作用的現象中（例如光电效应和康普頓效应等），发现了光具有粒子性，即可以认为光是由一顆顆叫做“光子”的物质粒子組成的。應該指出，“光子理論”并不是牛頓“微粒說”的复活，因为光子并不是牛頓所指的那种彈性微粒，而是物质的一种特

殊存在形式，“光子理論”本质上是不同于牛頓的“微粒說”的。

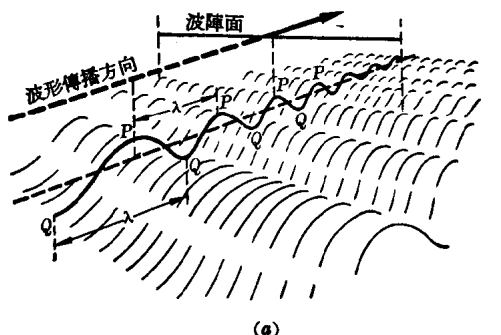
現代物理学既把光看作是一种电磁波，又把光看作是由光子組成的。即光既具有波动性，又具有粒子性。

§ 1-2 振动方程

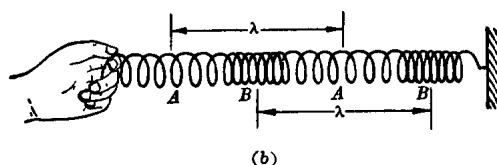
其实，光的反射、折射、干涉、衍射（光的直線傳播）和偏振，以及光与物质相互作用的某些現象，如吸收、散射和色散等，单用光的电磁理論就能够解釋清楚，而毋須考慮光的另一种属性（粒子性）。因此，在討論有关偏振光的各种問題时，我們也只从电磁波的理論出发。

电磁波的形状是肉眼看不見的。可是，丢一块石子到湖里去，水面上所产生的波紋；輕輕地壓縮一下彈簧，再輕輕地拉一下彈簧所形成的波动却是大家非常熟悉的。从这些看得見的“波”，就很容易說明振动和波动的“波长”、“頻率”、“振幅”与“位相”等概念的意义。

一列波中，两相邻頂点之間的距离称为**波长**，通常用 λ 来表示。如图 1-1(a) 所示，水波的波长是两相邻波峰（点 P）或两相邻



(a)



(b)

图 1-1 水波与彈簧內纵波的波长

波谷(点Q)之间的距离;如图1-1(b)所示,弹簧内纵波的波长是两相邻疏部中心(点A)或两相邻密部中心(点B)之间的距离.

波源在1秒钟内振动的次数称作这个波的**频率**(或**周率**),通常用 f 来表示.如用 2π 秒作为时间单位,则得到 $\omega=2\pi f$,它叫做**圆频率**.频率的倒数叫做**周期**,用 T 表示.它表示波源每完成一次全振动所需要的时间,即表示波源每发出完整的一个波所需要的时间.

因此,当一个波离开波源被发射出来时,如果波源的发射是连续的,那末经过一秒种后,波源已连续发出 f 个同样的波.这样,第一个波的前端和波源中間隔着 f 个波;所以,它的前端离波源的距离应该等于这 f 个波接起来的长度“ $f\lambda$ ”.这就是一个波在一秒钟内所跑过的路程,称为**波速**;若用 v 来表示,则得

$$\begin{aligned} v &= f\lambda \\ &= \lambda/T, \end{aligned} \tag{1}$$

或

$$v = \omega\lambda/2\pi.$$

如果仔细观察这些机械波波列上的任一点,便可以发现,每一点都各自在它自己的平衡位置附近往复地振动着;每一点都时而为波峰,时而处在平衡位置,又时而为波谷……当它正好成为波峰或波谷时(如图1-1(a)中的P点及Q点),它离开自己平衡位置的位移达到了最大值,这时的位移就称作**振幅**,它通常用 a 来表示.

显然,同一波列上所有各点的状态都在作着周期性变化;例如,图1-1(a)中的波峰P(或波谷Q),每过半个周期($T/2$),便将越过平衡位置一次变成波谷(或波峰);对波列上任一选定的点来讲,它的位移(以 y 表示)只在 $+a$ 到 $-a$ 的范围内往复周期地变化着,用数学式表示,则为

$$\begin{aligned} y &= a \cos \left(\frac{2\pi}{T} t + \theta \right) \\ &= a \cos (2\pi ft + \theta) \\ &= a \cos (\omega t + \theta), \end{aligned}$$

或

$$y = a \cos \varphi. \quad (2)$$

其中, 角度 θ 叫做这个振动点的**初位相**, 它决定了我們开始計算時刻(即 $t=0$ 时)这点位移的大小 ($y=a \cos \theta$); 而 $\varphi=(\omega t+\theta)$ 則確定了在經歷時間 t 后, 这一点的瞬时位移, 它称为該振动点在此時刻所具有的**位相**.

从式中可以看出, 位相 φ 每改变 $\pm 2\pi$ 或 $\pm 2\pi$ 的整数倍时(用“弧度”为单位), 任何一点的位移就正好回复到初始时刻的大小.

如果知道了一个振动点的振幅、頻率(或圓頻率, 或周期)和初相, 就能利用这个式子算出該点在任何时刻离开平衡位置的距离.

式(2)就叫做該振动点的**振动方程式**.

§ 1-3 波动方程

假使我們不是观察单独一个振动点, 而是同时观察波列上无数个振动点. 那么, 从波形可知, 各个点在同一时刻的位移是互不相同的.

然而, 在同一波列上, 每相隔一个或若干个波长的那些点, 例如图 1-1(a) 中的 P 点(或 Q 点), 它們的位移(离开各自平衡位置的距离)始終相同. 这就是說, 用来概括整个波列上一切振动点运动規律的数学表达式應該是以 λ 为周期的周期函数.

設波的傳播方向与 X 軸方向一致(如图 1-2 所示), 則当波沿波列傳播时, 要經過一个周期的时间才能向前推移一个波长的距离; 波列上某点 R 的位相比它后面的点 R' (R, R' 相距一个波长)

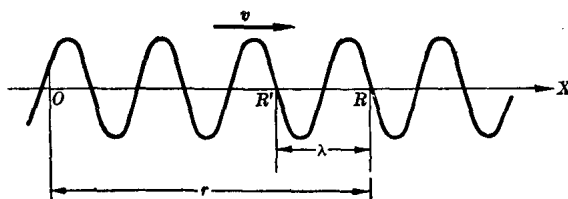


图 1-2

的位相落后 2π ; 設 R 点距 O 点为 r , 則 R 点的位相比 O 点的位相落后

$$\Delta\theta = \frac{2\pi}{\lambda} r. \quad (3)$$

因此, 若以 θ 表示 O 点的初位相, R 点的初位相就應該等于 $\theta - \frac{2\pi}{\lambda} r$; 这样一來, R 点的振动方程就可写成

$$y = a \cos \left[\omega t + \left(\theta - \frac{2\pi}{\lambda} r \right) \right], \quad (4)$$

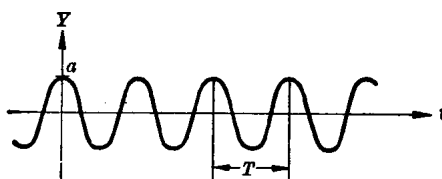
或

$$y = a \cos \varphi'.$$

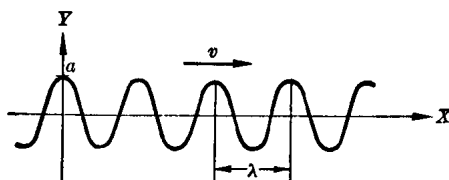
我們又得到了与式(2)形式完全相同的表达式(其中, φ' 是 R 点振动的位相).

初看起來, 这似乎仍然是一个振动点的振动方程, 但是, 实际上由于这个点 R 的位置是任意的(r 的数值是任意的), 所以这个方程就不再是描述某一振动点的振动方程, 而是描述整个波列上所有点的波动方程. 根據这个式子, 我們便能确定波列上所有点在同一时刻的位移, 从而画出該时刻的波形.

在波动方程式(4)中, 如果 r 为定值, 即我們考察波列上某一定点的运动情况, 則 $y = a \cos (\omega t + \theta')$, 其中 $\theta' = \theta - \frac{2\pi}{\lambda} r$ 是常



(a) 一个振动质点在不同时刻的振动状态



(b) 某一时刻整个波列上各质点的振动状态

图 1-3

数,于是波动方程就成为振动方程了,它可以描述该质点在不同时刻的振动状态(见图 1-3(a)). 如果要研究某一时刻波列上各质点的振动状态,那只要令 t 为定值就可以了. 图 1-3(b) 就表示某时刻波列上各质点的振动状态.

§ 1-4 波的迭加与干涉

如果有两列或几列波在空间某个区域内相遇,这区域内各点的振动状态显然就由这数列波的波动方程共同决定,这个现象就称为**波的迭加**.

为简便起见,我们只谈谈频率始终相同的两列波的迭加现象,而且只讨论当它们振动方向一致(即假定位移可同样用 y 表示)和振动方向相互垂直(即位移应分别以两个直角坐标,例如 y 与 z 来表示)的两种情况.

1. 振动方向一致的两列波的迭加

如图 1-4 所示,设圆频率同为 ω 、振动方向都与 Y 轴方向一致而振幅分别为 a_1 及 a_2 的两列波在空间 R 点相遇. 其中一个波在 R 点所引起振动的位移 y_1 应为

$$y_1 = a_1 \cos(\omega t + \theta_1), \quad (5)$$

而另一个波在 R 点的振动方程为

$$y_2 = a_2 \cos(\omega t + \theta_2). \quad (5')$$

其中, θ_1 与 θ_2 是为两个波各自决定的 R 点振动的初相.

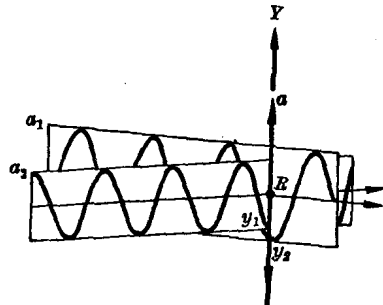


图 1-4 振动方向一致的
两列波的迭加

显然,在时刻 t , R 点的瞬时位移既非 y_1 又非 y_2 ,而是

$$y = y_1 + y_2. \quad (6)$$

从数学上知道,式(6)的运算结果一定能化为下列形式

$$y = a \cos(\omega t + \theta), \quad (7)$$

其中, a 就是两列波在 R 点的合振幅, θ 则为 R 点振动的初位相.

而(7)又能展开成

$$y = a \cos \omega t \cos \theta - a \sin \omega t \sin \theta \quad (7')$$

的形式。

另一方面，我们将式(5)及(5')代入式(6)进行运算，则得到

$$\begin{aligned} y &= a_1 \cos(\omega t + \theta_1) + a_2 \cos(\omega t + \theta_2) \\ &= a_1 \cos \omega t \cos \theta_1 - a_1 \sin \omega t \sin \theta_1 \\ &\quad + a_2 \cos \omega t \cos \theta_2 - a_2 \sin \omega t \sin \theta_2, \end{aligned}$$

或

$$\begin{aligned} y &= (a_1 \cos \theta_1 + a_2 \cos \theta_2) \cos \omega t \\ &\quad - (a_1 \sin \theta_1 + a_2 \sin \theta_2) \sin \omega t. \end{aligned} \quad (8)$$

将式(8)与式(7')对照，可知

$$\left. \begin{aligned} a \cos \theta &= a_1 \cos \theta_1 + a_2 \cos \theta_2, \\ a \sin \theta &= a_1 \sin \theta_1 + a_2 \sin \theta_2. \end{aligned} \right\} \quad (9)$$

将上二式各自平方后相加，即得

$$\begin{aligned} a^2 \cos^2 \theta + a^2 \sin^2 \theta &= (a_1 \cos \theta_1 + a_2 \cos \theta_2)^2 + (a_1 \sin \theta_1 + a_2 \sin \theta_2)^2 \\ &= a_1^2 + a_2^2 + 2a_1 a_2 \cos(\theta_2 - \theta_1), \end{aligned}$$

由此可得，R点振动的合振幅a为

$$a = \sqrt{a_1^2 + a_2^2 + 2a_1 a_2 \cos(\theta_2 - \theta_1)}. \quad (10)$$

如果将式(9)中两式相除，则可求出这两列波在R点迭加后，R点振动的初位相

$$\theta = \tan^{-1} \frac{a_1 \sin \theta_1 + a_2 \sin \theta_2}{a_1 \cos \theta_1 + a_2 \cos \theta_2}. \quad (11)$$

由式(10)可见，R点的合振幅不仅取决于 a_1 和 a_2 ，还与 $\theta_2 - \theta_1$ 的数值有关。下面我们就分两种情况来加以讨论：

1) 位相差 $(\theta_2 - \theta_1)$ 具有恒定值

不論 $(\theta_2 - \theta_1)$ 等于多少，只要它具有定值，合振幅a便可以得到一个完全肯定的答案。由于波在同一介质中的相对强度与振幅平方成正比，因此在R点波的强度也是恒定的。这种迭加现象，就叫做波的干涉；这些波则称为是彼此相干的波。

若两相干波在点R的位相差刚好是零（或 $\pm 2\pi$ 的整数倍），

則由于 $\cos(\theta_2 - \theta_1) = +1$, 合振幅 a 将等于 $a_1 + a_2$, 此时 a 最大(波的强度自然也最大), 这就叫作**相长干涉**. 若位相差为 $\pm\pi$ (或 $\pm\pi$ 的奇数倍), $\cos(\theta_2 - \theta_1) = -1$, 則 a 将等于 $|a_1 - a_2|$, 合振幅最小(即波的强度最弱), 这就叫做**相消干涉**. 而当位相差为其他的定值时, 相干波在該点的合振幅将为 $|a_1 - a_2| \rightarrow |a_1 + a_2|$ 之間的某个定值.

2) 位相差 $(\theta_2 - \theta_1)$ 不恒定

如果两列波在迭加区域中各点的位相差随时在变化, 則它們彼此是非相干的.

由于位相差极其迅速而无規則地改变着, 則在我們进行观察的時間內, 在統計意义上, 它将同等可能地取从零到 2π 之間的一切数值, 因此 $\cos(\theta_2 - \theta_1)$ 在这一段時間內的平均值为零, 合振幅 a 应該等于

$$a = \sqrt{a_1^2 + a_2^2} \quad (12)$$

(这个結果可以推广到任意多个非相干波合成的情况). 式(12)表明, 振动方向一致的非相干波迭加以后, 合振幅的平方为各个振幅的平方和. 也就是说, 在迭加区域的任意一点上合成波的强度等于各列波的强度之和; 而对两相干波来讲, 却只有在位相差为 $\pm\pi/2$ 的点上合成波的强度才等于两列波的强度之和.

2. 振动方向相互垂直的两列波的迭加

假使在 R 点相遇的两列波的振动方向互成直角, 如图 1-5 所

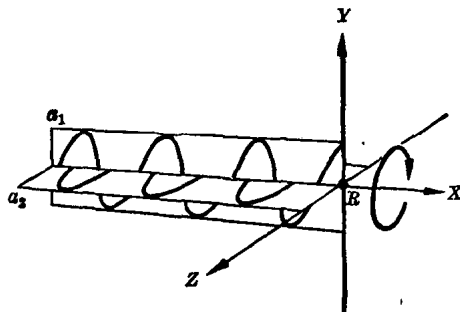


图 1-5 振动方向相互垂直的两列波的迭加

示, 它們在 R 点所产生的位移分別为

$$y = a_1 \cos(\omega t + \theta_1), \quad (13)$$

和

$$z = a_2 \cos(\omega t + \theta_2). \quad (13')$$

由于, y 与 z 的方向不在同一直线上, 所以 R 点的合位移不能再由这两个位移的代数和求得. 显然, 一列波企图使 R 点沿着 Y 軸方向振动, 而另一列波却同时在迫使 R 点沿 Z 軸方向振动, R 点合运动的轨迹便應該处于 YZ 平面上.

我們先将上两式中和角的余弦展开, 然后通过一些简单的运算消去含 t 的項以后, 便可以得到

$$\frac{y^2}{a_1^2} + \frac{z^2}{a_2^2} - 2 \cdot \frac{y}{a_1} \cdot \frac{z}{a_2} \cos(\theta_2 - \theta_1) = \sin^2(\theta_2 - \theta_1), \quad (14)$$

可以看出, 这是个椭圆方程式, a_1 与 a_2 分别为它的长半軸和短半軸. 也就是说, R 点将繞着平衡位置作周期性(周期 T 仍等于 $2\pi/\omega$)的椭圆运动.

1) 位相差 $(\theta_2 - \theta_1)$ 具有恒定值

在振动方向不一致的情况下, 即使位相差恒定的两列波也不可能发生干涉現象. 它們迭加的結果, 一般地都是一种椭圆振动; 只有在特殊条件下, 当 $\theta_2 - \theta_1$ 正好等于零或 $\pm 2\pi$ 的整数倍(即两波到达 R 点时的位相相同), 以及等于 $\pm\pi$ 的奇数倍(即两波到达 R 点时位相剛好相反)时, 式(14)才变成直線方程式

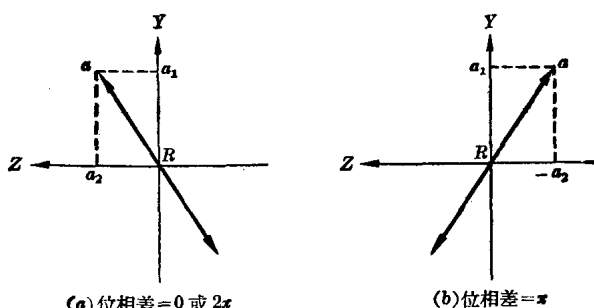


图 1-6

与

$$a_2y = a_1z \quad (15)$$

$$a_2y = -a_1z. \quad (15')$$

如图 1-6 所示, 这时, R 点的合振动是通过平衡位置的直线振动 (合振幅 $a = \sqrt{a_1^2 + a_2^2}$).

而在 $a_1 = a_2$ 、位相差等于

$\pm \frac{\pi}{2}$ 的奇数倍时, 方程式(14)

变成为圆方程式,

$$y^2 + z^2 = a_1^2. \quad (16)$$

这就是说, R 点的合振动将是
以 a_1 为半径的圆振动 (见图
1-7).

由此可以看出, 直线振动
与圆振动其实只是椭圆振动的两种特殊形式而已.

2) 位相差 $(\theta_2 - \theta_1)$ 不恒定

当位相差无规则地不断地变化时, 也就是两列振动方向垂直的非相干波相遇时, 从式(14)可知, 合振动将是无限多个方位极不恒定的椭圆振动, 而不可能得到一种定向的直线振动, 也不会合成为圆振动或具有恒定方位的椭圆振动.

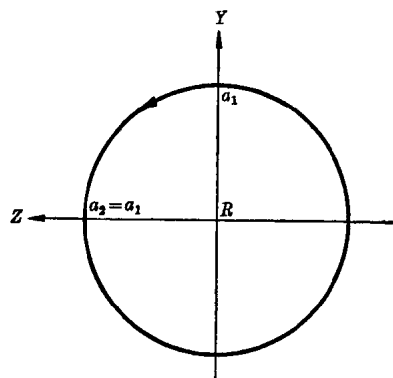


图 1-7

§ 1-5 电 磁 波

前面三节所讨论的振动与波动的性质对任何波都是同样适合的, 自然对电磁波也不例外.

电磁波是在相互垂直的方向上振动的电场和磁场向空间的传播. 但电场与磁场是眼睛看不见、皮肤感触不到的特殊物质, 所以由它们的振动所形成的波的“形状”也是看不见的. 当然, 为了便于说明, 我们仍不妨借用象图 1-8 那样的机械形象来表示它们. 图中的 C 是电磁波的传播方向, E 代表电场矢量, H 代表磁场矢量; 矢量的方向分别表示各点的电场与磁场振动方向, 矢量长短则是它们的强度.

所謂電場與磁場的振動，其實就是指它們的方向和強度在周期地變化；而某一位置上的電場（或磁場）的方向，則是指當我們把一個帶正電的物体（或磁鐵的 N 极）放在這一點時，它將受到向着這個方向電場力（或磁場力）的作用。

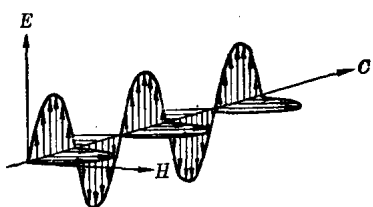


图 1-8

從電磁理論與實驗知道：電磁波波列上任意一點都必須同時具有電場及磁場兩種振動，兩種振動的位相相同、方向則相互垂直（ E 、 H 及傳播方向 C 三者都彼此垂直，而且符合烏莫夫-坡印亭矢量的右手螺旋法則）；至于同一點的電場與磁場的振幅，在適當選取 E 與 H 的單位時，也是彼此相等的。（一般地講，兩者的关系為： $\sqrt{\epsilon}E = \sqrt{\mu}H$ ，其中 ϵ 及 μ 分別為介質的介電常數與磁導率。）只要將前幾節中所討論的機械位移理解為電場或磁場強度的瞬時值，振幅 a 看作是電場強度或磁場強度的極大值，則上面三節中的一切關係式便照樣可用来描述電磁波，於是，電磁波波列上某一點的振動方程式或整個波列的波動方程式，便可以分別寫為

$$E = a \cos(\omega t + \theta) = a \cos \varphi, \quad (17)$$

$$H = a \cos(\omega t + \theta) = a \cos \varphi. \quad (17')$$

式中的 E 和 H 的位相始終相同，方向始終相互垂直；這樣，今后在討論電磁波動時，只要討論電矢量 E 的振動就可以了。

同樣，式(1)對電磁波也依然適用；不過，電磁波的傳播速度特別快。在真空中，一切電磁波的傳播速度都相同，通常用 c 來表示，根據實驗測定， c 的數值約為

$$c = 2.99793 \times 10^{10} \text{ 厘米/秒}.$$

即每秒鐘大約能跑 30 萬公里。在空氣及其他介質中，電磁波的傳播速度比它在真空中的速度慢一些。不過，在空氣中和在真空中的速度彼此相差極小，因此通常就近似地把它們當作是相等的；在不同的介質中，同一種波長電磁波的傳播速度也是不一樣的。

平常我們所講的“光”就是波長在某一定範圍之內的電磁波，

所以，电磁波的波动方程对光也是适用的。

§ 1-6 可見光

上一节中我們討論了电磁波的波动方程，并且知道光（即我們通常可以看見的光）是波长在一定範圍內的电磁波，于是我們要問：为什么超出这个範圍內的电磁波我們就看不見了呢？例如，广播电台发送出来的无线电波，能通过收音机的調諧把它接收下来，人眼却看不见。

要了解人眼的机能与它所能感受的光波范围，只要看看那些早期的，或者质量較差的收音机就可以了。当我们使用这种收音机时，如果将指針對准 760 千周那条刻度上，我們收到的除了这一个电台所发送来的电磁波外，往往还同时夹杂着許多与 760 千周相鄰近的杂音。这就是說，一架選擇性不高的收音机，在指針調諧到某一点时，它所接收到的并不是一种頻率的电磁波；而是在这个頻率附近、相当寬广範圍內的各种頻率的电磁波。

人的眼睛有点类似这种具有寬闊調諧帶的“收音机”；凡是在这一个調諧範圍以內的电磁波，它都能接收到。当然，对于眼睛來說，这个調諧範圍應該是愈寬愈好，它的選擇性倒是无关紧要的。

根据實驗結果知道，通常人眼最敏感的光是在真空中空气中波长等于 0.000055 厘米（或写作 5,500 埃①），或頻率等于 5.45×10^{14} 赫茲的电磁波；这是一种呈黃綠色的光（如果光很弱，人眼感覺最灵敏的波长还要短些）。从这种光波开始将波长逐渐改变，眼睛的接收能力便也跟着逐渐地下降；当电磁波长减小到只有 0.00004 厘米，或增加到 0.00008 厘米左右时，人的眼

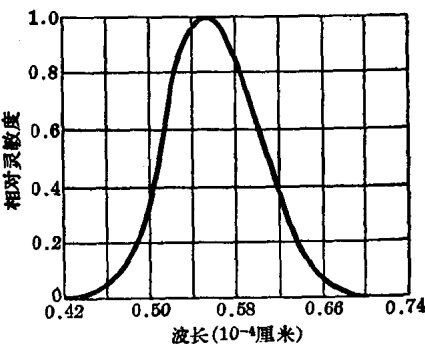


图 1-9 眼睛的視見曲綫

① 埃为一种非常微小的长度单位，1 埃 = 10^{-8} 厘米 = 10^{-10} 米。